

VŠST LIBEREC

Fakulta strojní

Tyčkové stroje a zařízení

zaváděcí

základní a keramické stroje

Katedra strojní a keramiky

BALENÍ MALÝCH ZAŘÍZKŮ LITÉHO ORNAMENTÁLNÉHO SKLA

Petr Babcík

MŠL - 000

Vedoucí práce : Ing. Jaroslav Beneš, CSc - VŠST Liberec

Konzultant : Ing. Zdeněk Ohven, Sklootec Duchcov

Rozsah práce a příloh

Počet stran	60
Počet příloh a tabulek	4
Počet obrázků	7
Počet výkresů	9
MDT	666,15:621,786

Datum odovzdání : 12. 06. 1981.

Kuklýšk

Vysoká škola: strojní a textilní
Fakulta: strojní

Katedra: sklář. a keram. strojů

DIPLOMOVÝ ÚKOL

pro **Petra B r e c i k a**

obor 23-21-8 stroje a zařízení pro chemický, potravinářský
a spotřební průmysl

Protože jste splnil... požadavky učebního plánu, zadává Vám vedoucí katedry ve smyslu směrnic ministerstva školství a kultury o státních závěrečných zkouškách tento diplomový úkol:

Název tématu: Balení malých rozměrů litého ornamentního skla.

Po kynu pro výpracování:

V současné době se provádí balení malých rozměrů litého ornamentního skla ručně. Stávající mechanizace pro balení běžně vyráběných rozměrů skel nelze pro výše uvedenou operaci využít. Ve své diplomové práci navrhnete konstrukční řešení zařízení pro balení litého ornamentního skla rozměrů 1200 x 600, popř. 800 x 600 tl. 3 - 4 mm s cílem odstranění manuální práce.

Proveďte:

1. Zhodnocení dosavadní technologie balení.
 2. Analýzu řešení problematiky.
 3. Komplexní návrh balicího zařízení s ohledem na umístění ve výrobním závodě.
 4. Konstrukční zpracování hlavního uzlu zařízení.
 5. Ekonomické zhodnocení.

Autorské právo se řídí směrnicemi
MSK pro státní i sv. zkoušky č.j. 31
77/15. dle zákona č. 270 o výuce
českého jazyka a literatury ze
dne 21. září 1977.

WISCONSIN STATE LIBRARY
Milwaukee
LIBRARY DEPARTMENT
46117

Rozsah grafických laboratorních prací: cca 40 stran textu doložených
příslušnými výpočty a výkresovou
dokumentací

Rozsah průvodní zprávy:

Seznam odborné literatury:

Technologický postup výroby litého
ornamentního skla

Konzultace v k.p. Sklotas Duchcov
a závodě Pozorka

Vedoucí diplomové práce:

Ing. Jaroslav Nosek, CSc

Konsultanti:

Ing. Zlatan Olexa, Sklotas Duchcov

Datum zahájení diplomové práce:

15. 9. 1980

Datum odevzdání diplomové práce:

12. 6. 1981



Doc. Ing. Jaroslav Belta, CSc

Vedoucí katedry

Doc. RNDr. Bohuslav Stríž, CSc

Děkan

Místopřísežně prohlašuji, že jsem diplomovou práci
vypracoval samostatně s použitím uvedené literatury.

Petr Brečík

Petr Brečík

v Liberci 12. 6. 1981

Seznam použitých zkratek a symbolů - konstrukční část

Zkratka	Význam	strana
a	-průměr dotykové plošky /mm/	34
a	-maximální počet papírů v zásobníku	44
a	-zrychlení vozíku /m/sec ² /	44
b	-max. počet papírů	30
C _{II}	-míjivé namáhání	31
C _{III}	-koeficient pro střídavé namáhání	32
ØD	-průměr hřídele /mm/	30
D	průměr řetězového kola /mm/	33,36
D _t	-skutečný roztečný průměr /mm/	36
D _f	-průměr patní kružnice /mm/	36
D _h	-průměr hlavové kružnice /mm/	36
D _n	-maximální Ø náboje kola /mm/	36
d	-průměr hnací řetězky /mm/	33
Δ p	-rozdíl tlaku	39
E	-modul pružnosti /MPa/	33
ε	-tuhost přísavky	38
F _a	-zrychlující síla (proti směru pohybu)	44,45
F _c	-celková zatěžující síla /N/	35,33
F _N	-normálová síla /N/	45
F _n	-síla na profil /N/	32
F _t	-tečná síla (ve směru pohybu) /N/	35,45

Zkratka	Význam	strana
F_v	-výsledná síla působící na papír	• 30
F_1	-síla na hnací kola /N/	33,34
F_s	-síla tabule skla /N/	38
f	-součinitel mezi kladíčkami	. 35
f_s	-tření mezi sklem a přísavkou	44,45
f_l	-tření papír x papír	• 29
F_2	-tření papír x guma	29
F_{l1}	-sílanna jedno kolečko /N/	30,32
G_{celk}	-hmotnost papíru v zásobníku	29
G_s	-hmotnost tabule skla /N/	38
G_{max}	-celkové zatížení hřídele	30
G_1	-hmotnost l papíru	29,30
g	-gravitační konst.	47
h	-výška savky /cm/	• 30,39
h	-počet hřidel	30
I_o	-polární moment setrvačnosti v ohybu	32
k_p	-bezpečnost zahrnující ztráty při nebezpečnosti	38
k_v	-koeficient vyjadřující Ø hnacího kola	29
χ	-Poissonova konstanta	41
l	-dráha pojezdu vozíku /m/	29,37
M_1	-kroutící moment potřebný k pohybu vozíku /Nm/	35

Zkratka	Význam	strana
M_{km}	-kroutící moment motoru /Nm/	35
M_o	-ohybový moment /Nm/	31,32
M_{omax}	-maximální ohybový moment	32
m_1	-tíha vzduchu ve vzdušníku /kg/	40
m_2	-tíha vzduchu ve vakuovém rozvodu /kg/	40
η_c	celková účinnost	38
n	-počet kol vkladačky	29
n	-počet zdvihů za minutu	35
n'	-počet hnáných kol	29
n_k	-počet koleček	33
n_{mot}	otáčky motoru pojezdu /l/min./	37
$n_{př}$	-otáčky převodovky pojezdu	37
p_{pr}	-tlak směsi po propojení obvodu /Pa/	41
p_{bar}	-atmosferický tlak /Pa/	40
p_v	-tlak ve vzdušníku /Pa/	38,41
p_v	-vakuum potřebné ke zdvižení skla	39,40
p_l	tlak ve vzdušníku /Pa/	40
p_2	-tlak atmosferický /Pa/	40.
n_M	otáčky motoru	30
ω	-úhlová rychlosť /°/	37
Q	-celková spotřeba vzduchu /l/min./	46.
q	-spotřeba vzduchu na cm zdvihu /l/cm/	47
R	-poloměr řetězky	35

Zkratka	Význam	strana
R	-individuální stavová konstanta pro plyny	40
P _m	-výkon motoru /kW/	35,36
P	-měrná hmotnost papíru kg/m ³ /	29
s	-dráha /m/	34
s	-zdvih v cm	29
S	-plocha savky /m ² /	39
S _m	-plocha mezikruží přísavky /m ² /	44
ζ _H	-mez pevnosti v tlaku /Pa/	31
ζ _o	-vypočítaná pevnost nosníku /Pa/	31
ζ _{od}	-dovolená mez pevnosti v ohybu /Pa/	32
ζ _p	-mez pevnosti v tlaku /Pa/	44
ζ _{red}	-mez pevnosti redukovaná /Pa/	34
ζ ₁	-konkrétní dovolená pevnost /Pa/	33
t	-povolený čas přejezdu /sec/	37
t	-doba rozjezdu /sec/	37,44
T	-teplota /K/	40
T _v	-teplota vzduchu /K/	40
T ₁	-tečná síla na hnací kola /N/	30
T ₂	-tečná síla na volná kola /N/	30
τ _k	-pevnost v krutu /Pa/	31
v	-rychlosť pojezdu /km/sec/	37

Zkratka	Význam	strana
v_c	-celkový objem rozvodu /m ³ /	39,40
v_{hod}	-objem vysátého vzduchu za hod.	41
v_p	-vnitřní objem potrubí /m ³ /	39
v_s	-objem savky /m ³ /	39
v_v	-objem vzduchu ve vzdušníku /m ³ /	40
v_l	-objem vzduchu ve vzdušníku /m ³ /	41
v_{l1}	-objem přísavky po stlačení /m ³ /	38
v_0	-objem přísavky před stlačením /m ³ /	32,33
w	-průhyb nosníku přísavek	32
w_0	-modul průřezu v ohybu /m ³ /	31
w_k	-modul průřezu v krutu /m ³ /	31

Úvod.

Základem hospodářského a sociálního rozvoje pro 80 léta je generální linie výstavby rozvinuté socialistické společnosti.

Návrh 7 pětiletého plánu předpokládá růst národního důchodu o 14 - 16 % a celková průmyslová výroba se má zvýšit o 18 - 20 %. Samotný sklářský průmysl má plánovaný nárůst o 35 - 38 %, při čemž většina jeho produkce je úspěšným exportním artiklem.

Plánovaného tempa rozvoje sklářského průmyslu se bude dosahovat růstem produktivity práce, nižší energetickou i materiálovou spotřebou a vyšším využíváním základních fondů. Nejmocnějším zdrojem růstu produktivity společenské práce je věda a technický pokrok. Jedině zaváděním moderních výrobních procesů lze dosáhnout úspory lidské práce, zvýšení její produktivity a odstranění práce zdraví škodlivé a namáhevné.

Právě ve sklářském průmyslu lze uplatňovat všechny tyto progresivní poznatky. Je to obor, jenž má mimořádně příznivé podmínky, neboť může čerpat z laciných a kvalitních domácích surovin a pokračovat tak ve slavných tradicích českého sklářství.

Vzrůstající spotřeba plochého skla vyvolává stále větší tlak na výrobu. V oboru plochých skel zaujímá nejdůležitější místo ploché sklo tažené, jež tvoří podstatnou část výroby. Všem systémům výroby plochého skla je společné to, že vyžadují sklovinu nejlepší jakosti, dokonale vytavenou, vyčeřenou a na dobrém stupni homogenity. Výsledek výroby a kvalita skla záleží nejen na technologické úrovni procesu, ale i na dalším zpracování.

Výroba nekončí vlastním tažným procesem. Následuje chlazení a úprava tabulí skla. Praktické

použití plechového skla závisí především na možnosti přizpůsobit rozměry jednotlivých tabulí požadované velikosti. Deprava skla a jeho dělení vyžaduje zvláštní opatření a organizaci práce, vzhledem k váze a křehkosti jednotlivých tabulí. Právě do oblasti dalšího zpracování skla je zaměřena tato práce.

V oborevném podniku SKLOTAS, spadajícím do koncernu SKLO UNION TEPLICE - je v závodě POZORKA linka na výrobu litého ornamentálního skla. S úkoly rozšíření exportu se na ní připravuje výroba malých rozměrů ornamentálního skla, na něž není dosud v provozu žádné mechanizační zařízení. Odlamování těchto tabulí o rozměru 1200 x 600 mm se provádí ručně, zrovna tak i jejich balení. Z toho plynne vyšší potřeba pracovních sil se všemi svými negativními vlastnostmi. Cílem práce je návrh uspořádání linky a konstrukční řešení vlastního balícího stroje.

1.0

Současný stav

Stávající způsob řezání a balení ornamentálního skla v závodě Pozorka je minimálně mechanizovaný. Instalovaná zařízení a obsazení pracovními silami jsou vidět na přiloženém schematu (v. 1).

Po výstupu z chladící pece (1) je pás skla samočinně nařezáván na požadovaný rozměr (2). Další operací je odlomení okrajů skla. Toto zařízení (3) je velmi jednoduché a pracuje spolehlivě. Na tomto místě je pracoviště obsluhy (A). Jejím úkolem je sledovat činnost odlamovacího zařízení a v případě zaplnění násypy střepovače (umístěn pod dopravní tratí) uvést do chodu střepovací dopravník. Také zajišťuje výměnu řezacích koleček, které jsou upevněny revolverovým způsobem na nařezávači.

Dále postupuje pás skla s odlomenými okraji a s požadovanými řezy do prostoru odlamovacích válců. To jsou dva páry nad sebou uložených válců s gumovým povrchem, jež se od sebe liší rychlostí otáčení (4). Výstupní úhel je o $5-10^{\circ}$ větší než vstupní což spolu s větší rychlosí (v_1) způsobí jeho odlomení. Tyto válce pracují spolehlivě a jsou dlouhodobě vyzkoušeny.

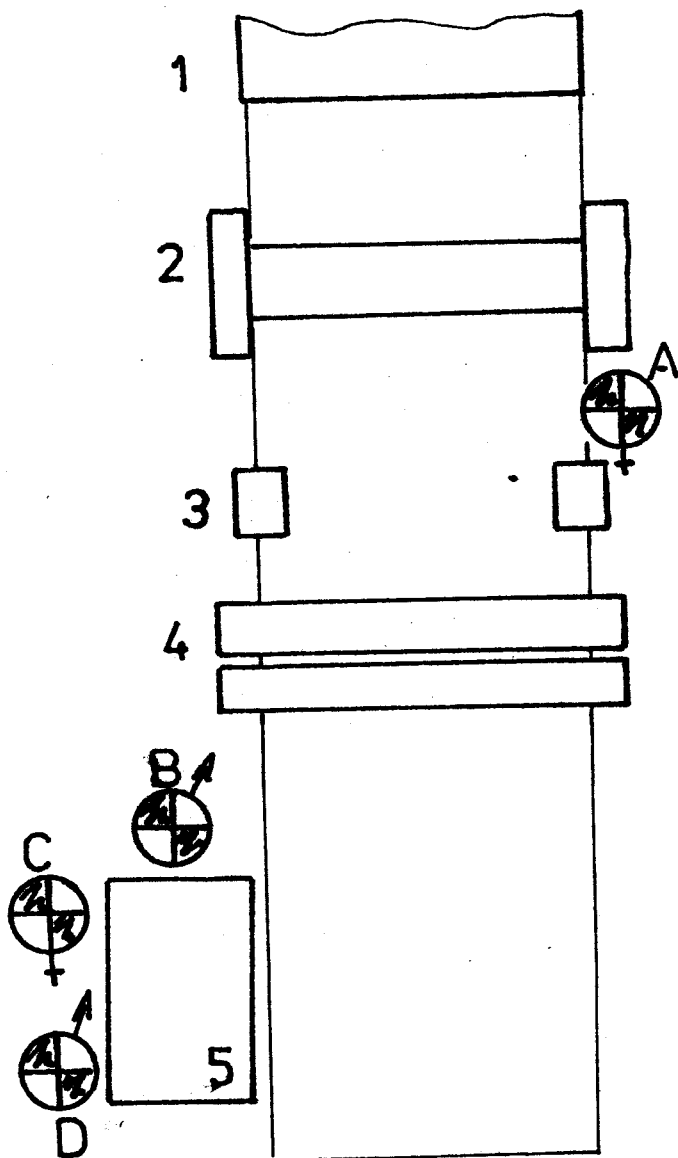
Okamžitě po odlomení se dopravní vílečky urychlují (v_1) a tabule postupuje ke konci linky do prostoru balení (5).

Vlastní balení se provádí tak, že první z lamačů připraví bednu pro transport (vystele ji dřevitou vlnou a vloží do ní voskový papír). Po dojetí tabule skla ji ručně odloží po dříve provedeném řezu a ukládá do přepravky.

Stahovačka vklídá mezi jednotlivá skla papír stejného rozměru, který ručně odděluje z velké role umístěné svisle na tomto pracovišti.

1.1

Současné uspořádání linky



A - Odřezávačka

B,D - Balič-lamač

C - Balič-stahovačka

1 - Chladnička

2 - Řezací stůl

3 - Odlamovač okrajů

4 - Trhací válce

5 - Válečková trať pro posun bedén

Po naplnění přepravky stanoveným počtem kusů ji druhý lamač posune po válečkové trati a provede její konečnou úpravu (opětné vycpání dřevitou vlnou a zaklopení papírového obalu). Finální uzavírání přepravky se provádí klasickým způsobem pomocí hřebíků.

Povinností jednoho z baliců je také tyto přepravky odvážet vysokozdvižným vozíkem. Tím je celý cyklus ukončen.

Vzhledem k rychlosti toku skla, jež se pohybuje mezi 2,4-2,6 m/min. není tato práce namíhavá. Počet pracovníků v prostoru balení je vysoký, za současného stavu, ale nezbytný. Jedná se o nepřetržitý provoz, to je $4 \times 3 = 12$ pracovníků. Jsou to pracovníci nekvalifikovaní. S přihlédnutím k problematice pracovních sil v Severočeském kraji a neutraktivnosti této práce je na tomto úseku velká fluktuace, úrazovost a nemocnost pracovníků.

Je tedy nutné stávající stav změnit a v zájmu rozvoje výroby odstranit tyto nepříznivé jevy.

2.0

Zhodnocení a volba vhodných
typů pohonů pro balicí zařízení.

Úvod

Snaha po automatizaci stávajících a nových technologických pochodů téměř ve všech oborech lidské činnosti vede k úzké specifikaci požadavků kladených na mechanismy, které mají ten který technologický pochod zajišťovat nebo řídit.

Všimneme-li si dnešní skladby výrobních strojů, vidíme, že mimo mechanismy tuhé a elektrické domaly, pro své vlastnosti, značného rozšíření mechanismy hydraulické a pneumatické.

**2.1 Seznam pohonů překladače a jejich charakteristicky
pohyb**

1. Pohon vkládačky papíru

Pohyb rotační, periodický /opakování 1x za sec; trvání 2 + 3 sec/

2. Pohon pojedzového vozíku

Pohyb přímočáry - obousměrový /opakování 1x za 24sec;
trvání 5 - 8 sec; dráha 2m/

3. Pohon zdvihu tabule skla

Pohyb přímočarý - vratný /opakování lx za sec;
trvání lsec; výška "X" zdvihu h o 5cm/

2.2

Pohonné mechanismy a jejich vlastnosti

EP - Elektrické pohony

TP - Tuhé pohony /vačky, výstředníky, atp./

PP - Pneumatické pohony

HP - Hydraulické pohony

EP - Výhody: Vhodné pro přenos otáčivých pohybů.

Snadný přenos pohonné energie, střední cena této energie. Čistota tohoto pohoru.

Nevýhody: Nemožnost proměny otáček bez složitého přídavného zařízení. Nutnost ochranných zařízení proti zasažení el. proudem.

TP - Výhody: Možnost přenášení velkých sil. Minimální znečištění. Stejná síla po celé dráze pohybu.

Nevýhody: Malá změna rychlostí a otáček.

PP - Výhody: Možnost volby velikosti síly. Rychlosti a zrychlení při dojezdu a startu. Nízká cena stlačovaného vzduchu.

Nevýhody: Nejjednodušší pohony mají největší ztrátu výkonu,

nejvíce je potřeba údržby.

Nevýhody: Vyšší nároky na rozvod stlač. vzduchu,
těsnost potrubí.

HP - Výhody: Možnost přenosu velkých výkonů; stálý tlak
v celém systému.

Nevýhody: Nelze zajistit stoprocentní těsnost celého
systému, tím dochází k znečištění. Velká
cena tlak. oleje a celého příslušenství.

Při volbě konkrétních pohonů musíme vycházet z požadavků na mechanismus. Především ze statických a dynamických poměrů, dále pak z velikosti a přístupnosti prostoru, charakteru pohybu, celkové váhy mechanismu. Jeho vlivy na manipulovaný předmět, cenu energie. Dostupnost, jednoduchost montáže, snadnost obsluhy a údržby. Počet a cena nutného příslušenství. Možnost řízení z jednoho místa, paracionalizace a automatizace.

2.3 Určení vhodného pohonu - zdůvodnění

1. Vkladačka papíru

Potřebný pohyb nám může zrealizovat nejjednodušeji elektromotor. Jeho středně velká váha se umístí na exponovaném místě v rámu vkladačky. Příslun energie je jednoduchý. Také ovládání tohoto motoru spinačem vekrajní poloze voziku je velmi jednoduché.

2. Pohon pojazdového vozíku

Vzhledem k délce dráhy pojazdu /2m/ připadá jako nejlepší možnost elektromotorus převodovkou. Pomoci řetězu vykoná vozík snadno stanovený pohyb.

3. Zdvih tabule skla

Pohyb přímočarý vratný, jeho malá výška / $h = 5\text{cm}$ / a potřeba měkkého dejezdu do koncové polohy - tyto požadavky nám přímo nabízejí jednočinný pneumatický válec s vratnou pružinou.

3.0

Návrh výrobní linky ornamentálního skla

Výrobní linku pro balení a řezání ornamentálního skla navrhujeme tak, aby všechny nové celky nutné pro vykonávání potřebných operací, mohly včlenit do výrobní linky, jež je v současné době v závodě Pozorka v provozu.

Naším cílem byly minimální stavební úpravy a možnost začlenění nových prvků nezměněných výrobních prostor.

Nové řešení, které vidíme na výkresu čísle KSK-004-02, bude mít tyto části /značeno podle pozice na výkresu/.02/.

Poz.1 - Řezací stůl

Pracuje spolehlivě a je schopen splnit všechny požadavky na dělení tabulí pro automatické balení.

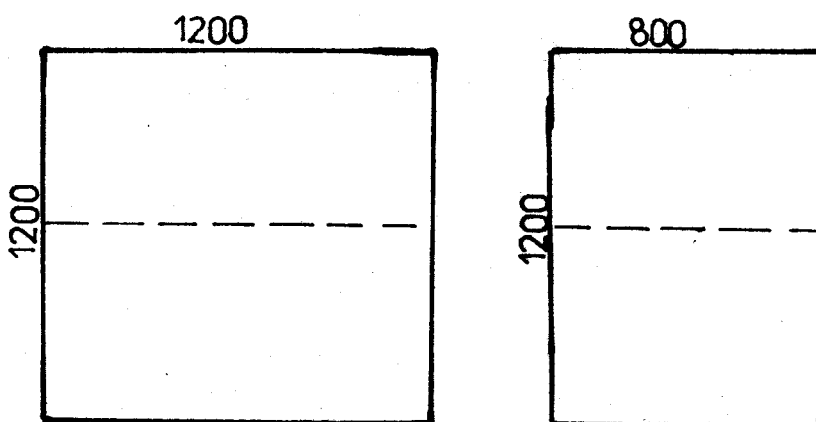
Poz.2 - Odlamování okrajů

Stávající zařízení plní svou funkci. Na tomto stanovišti je robaoluha /Odřezavačka/. Jejím úkolem je sledovat činnost odlamovacího zařízení, v případě zaplnění násypky střepovače umístěného pod tratí uvést do chodu střepovací dopravník. Sleduje opotřebení řezacích koleček a provádí jejich výměnu. Toto zařízení zůstane také beze změny.

Poz.3 - Odlamovací válce

Pracují na principu různého úhlu vstupu a výstupu skleněné tabule. Jsou spolehlivé a účinné.

Za nimi nastává zrychlení pohybu tratě z $v_1 = 2,6 \text{ m/min}$ na $v_2 = 4,0 \text{ m/min}$. Rozdílem těchto rychlostí dostaneme časovou rezervu 28 sec, jež nám víc než dostačuje k po-otočení skla na otočném stole. Po prvním lámání pokračuje odlomená tabule o rozmeru 1 200 x 1 200 /1 200 x 800/.



Poz.4 - Otočný stůl

Je to zařízení, které není na lince dosud instalováno. Je však velmi jednoduché. Úspěšně pracuje a je vyzkoušenou v závodě SKLO - UNION Řetenice, kde je umístěno na lince Float. Tam se také k němu nachází úplná dokumentace. Pro naše potřeby ho lze přijmout bez změn, jen rozměrově bude upraven pro tabule 1 200 x 1 200 mm.

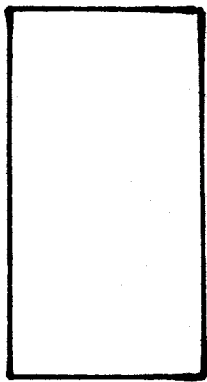
Poz.5 - Odlamovací válce

Tetožné s pozicí 3. Jen rychlosť se zde bude měnit z $v_2 = 4,0 \text{ m/min}$ na $v_3 \leq 4,2 \text{ m/min}$. Tento malý rozdíl je dostačující k odlomení.

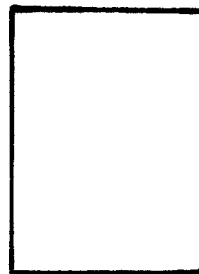
Větší nevolíme, protože bychom dostali uměrně velký interval mezi dojezdem prvé a druhé tabule ke koncovým dorazům, což je nežádoucí.

Formáty tabulek po druhém odlození

1 200 x 600



600 x 800



Poz.6 - Balicí stroj

Konstrukce tohoto stroje je ústředním bodem této práce. Jeho sestavný výkres má číslo KSK-004-01 a jeho funkci je věnována celá další kapitola.

Poz.7 - Odpadový kontejner

Doplňkové zařízení. Tabule prasklé, vadné či jinak nevyhovující má obsluha možnost stisknutím tlačítka "Doraz dolů" nechat přejet konec dopravníku a tak znehodnotit v kontejneru.

Poz.8 - Dopravník kontejnerů

Dopravník stejného typu jako dopravník pro sklo, dimenovány pro váhu plných beden /80 kusů/.

Má dvě polohy - Start a Stop - a je ovládán ručně obsluhou z více míst /3 stanoviště/. Interval výměny a ustavení beden je 24 sec, což je doba dostatečná. Bedny ustanovuje obsluha ručně podle pevných stavitelech dílů.

Další úprava a transport kontejnerů bude probíhat podle ustálených zvyklostí.

3.1 Seznam a provozní údaje pohonné jednotek
balicího zařízení

Pojezd vozíku - Brzdový motor APB 100 L - 6

$P = 1,5 \text{ kW}$ $n = 940 \text{ l/min}$

klidový brzdový moment 1,3 kpm; hmotnost 59 kg; náplň oleje 0,3 l

Přiřazená převodovka - ŽS 03 0329

$i = 27$ hmotnost 21 kg; náplň oleje 1,5 l

Motor vkladačky papíru - 3 AP 80 6a

$P = 0,37 \text{ kW}$ $n = 685 \text{ l/min}$

hmotnost 17 kg; náplň oleje 0,15 l

Přiřazená převodovka - ŽS 03 0329

$i = 12,5$ hmotnost 16 kg; náplň oleje 0,7 l

Převod skříně tvoří s elektromotorem jeden celek. Ozubená kola a ložiska jsou mazána olejovou náplní, ve které se brodi ozubená kola. Výšku hladiny oleje lze kontrolovat pomocí olejoznaku. Prostor elektromotoru je od skříně převodovky oddělen a utěsněn. Mohou pracovat do teploty okolního prostředí 40°C .

Převzaté hodnoty a údaje jsou z katalogu -

Převodovky a elektromotory - Přerovské stroj.

Vydání 1975

3.2 Spotřeba vzduchu překladače, časová analýza, pořizovací náklady pneumatických a elektrických prvků

Prvek v oboru	Název prvku	Označení výrobce (FESTO)	Spotř. vzduchu (l/min)	Objem prvku (l/cm ³)	Počet zdvihů	Pořizovací cena (čs)	Počet
0.1	Spoušť. ventil	Q 1/2				196,0	1
00.2	Upravná jedn.	LFR 1/4				491,0	1
0.3	Tlumič hluku	U 1/4				36,50	5
11.0	Válec dvojčinný DC-35-140PPV	9,2	0,066	2,5		825,0	2
1.1	Rozvaděč	MC-4-1/4				1 125,0	1
1.2	Časové relé	TM - 10				150,0 Kčs	1
1.3	Spinač	2KS6PKR30				85,0 Kčs	1
2.0	Válec jednoč.	AV-35-50	1,65	0,066	2,5	394,0	1
2.1	Rozvaděč	H - 3 - 1/4				385,0	1
3.0	Válec jednoč.	AV-35-50	1,65	0,066	2,5	394,0	1
3.1	Rozvaděč	MPH-3-M5				1 105,0	1
3.2	Časovérzbač	TM - 10				150,0 Kčs	1
4.0	Válec jednoč.	E6-25260-	0,99	0,033	2,5	345,0	1
4.1	Rozvaděč	MPH-3-M5				1 105,0	1
5.1	Rozvaděč	MPH-3-M5				1 105,0	2
5.2	Spinač	2KS6PK 20				85,0 Kčs	1
5.3	Spinač	2KS6PK 11				85,0 Kčs	2
5.4	Časové relé	TM - 10				150,0 Kčs	2
			13,53			£ 9 585,0 OS	
						£ 1 025,0 Kčs	

a/ spotřeba vzduchu jednočinných válců

$$Q = 2 \cdot s \cdot n \cdot q / \text{Nm} \cdot \text{min}^{-1}$$

b/ spotřeba vzduchu dvoučinných válců

$$Q = 2 \cdot s \cdot n \cdot p / \text{Nm} \cdot \text{min}^{-1}$$

Q = celková spotřeba vzduchu l/min

q = spotřeba vzduchu na cm zdvihu l/min

S = zdvih v cm

n = počet zdvihů za minutu

I - Válec jednočinný

$$Q = 2 / s \cdot n \cdot q / \text{Nm/min}$$

II - Válec dvojčinný

$$Q = 2 / s \cdot n \cdot p / \text{Nm/min}$$

Z tabulky 1 můžeme zjistit spotřebu tlakového vzduchu
/6 MPa/ $Q_c = 13,53 \text{ l/min}$, to je $0,81 \text{ m}^3/\text{hod}$. Skutečná
spotřeba bude vlivem netěsností vedení a kolísání tlaku
zřejmě vyšší a bude až $1 \text{ m}^3/\text{hod}$.

4.0

Všeobecný popis

Základem stroje jsou jeho rámy, na kterých jsou upevněny všechny ostatní dílčí celky tj. vkladačka, pojazd a pohon vozíku; vlastní pojezdový vozík. Zařízení pro zastavení a přesné polohování tabulí skla je součástí rámu válečkové tratě, které již funguje v závodě Pozorka.

Pneumatický, vakuový a elektrický rozvod je umístěn ve skříni stojící mimo stroj a opatřené hlavním /bezpečnostním/ vypinačem. Na rámu stroje jsou umístěny pouze elektrické spínače a koncové vypinače.

4.1

Popis funkcí

Pracovní cyklus překladače je automatický. První tabule skla, která dorazí na konec dráhy a uzavře obvod kladíčkového spínače tím uskuteční ještě tyto funkce. /viz. schema zapojení výkres č. 2 - KSK - 002/.

1. Okamžitě zapne přes elpneumatický ventil doraz druhé skla.
2. Přes časové relé zapne zdvih tabule.
3. Přes časové relé vede přísavek dolů.

Při přilnutí přísavku se sepne obvod vakua a dojde k přisátí. Zároveň časové relé zapne /se zpožděním/2 s/ elektromotor k přejezdu vozíku pro pohyb tam. V koncové poloze vozík vypne motor a zároveň přeruší obvod vakua. Tabule do přepravky padá volným pádem. Vzdálenost do země je cca 1,5 m.

Vozík v koncové poloze také sepne elektromotor vkladačky papíru, která vysune právě jeden kus. Také je sepnuté relé pojezdu vozíku pro pohyb zpět.

4.2 Konstrukční řešení hlavního ústrojí balení

Celé zařízení nám vykonává tyto funkce:

I.- Z nepřetržitého rozměrově upravených tabulí zastavuje vždy dvě, pomocí výsuvného zařízení je ustanovuje do přesně definované polohy. Přisavkem je přenáší nad přepravky, ve kterých je nechává volně padat. Mezi každou tabuli se vždy automaticky vysune papír.

Zařízení je konstruováno pro přenášení tabulí rozměrů:

Šířka.....1200 /800/mm

Délka.....600mm

Tloušťka.....3-4mm

Pozn. - Po jednoduchých úpravách /Stabilizace polohy tabule/ je možno použít stroje k přenášení všech rozměrů skla vyráběných na této lince tj. 1 200x2 400mm

Maximální rozměry stroje:

Délka.....4 100mm

Výška.....2 800mm

Šířka.....3 600mm

Váha.....2 250mm

Údaje o vozíku...Základní t.j. 2 kola 27, Gumi

Mocnost motoru vozíku...v = 0,4m/sec

Max. výkon stroje130ka/hod t.j. 2 ks/27,6sec

Rychlosť překl. vozíku..... $v = 0,4m/sec$

Potom se vozík vrátí do výchozí polohy a čeká na další opakování cyklu. Čas k opakování je 27,6sec.

Obsluha stroje provádí vždy po $10 \times 27,6sec = 4,6min$ výměnu přepravek. Ustavování přepravek vykonává obsluha ručně podle stavitelných dorazů. Výhoda ruční obsluhy je v tom, že tato činnost bude nutit pracovníky k sledování chodu stroje a tím bude zajištěna jejich přítomnost na pracovišti. Zásobník vkladačky papíru stačí na 90 min./ještě zástatává 30 minutová rezerva/.

Další úprava a odvoz přepravek bude probíhat podle zavedeného systému.

4.3
Pozn.

Jelikož vkladačka nám bude umisťovat vkládaný papír přesně vzhledem k podélné ose nemůže zde nastat ovlivnění lidským faktorem, lze zmenšit formát vkládaného papíru při rozměrech skla 1 200x600mm a 1 000x600mm. Při menším rozměru 800x600 na 600x600mm.

Toto zmenšení nikterak neovlivní nebezpečí poškození při transportu a přineslo by roční úspory nákladů na výr.

Rozměr 1 000x600mm

17% spotřeby papíru = 1l 615 m² = 6,9t

Cena 50m role šíře 120 cm je 146Kčs.

V prvním případě by šlo o částku 28 263,20Kčs/rok.

Rozměr 600x600mm

25% spotřeby papíru = 17 082 m² = 10t

Ve druhém případě by vznikla úspora 4l 566,20Kčs/rok.

Vzhledem k požadavkům na znacionalizování výroby a úsporu nákladů stojí tyto částky za uvážení.

5.1

Výpočet vkladačky papíru

Rozměry papíru - $800 \times 600 \times 1^+$ mm

1^+ - tloušťka 1 mm odvozena od reálného vážení

Měrná hmnotnost papíru $\rho = 0,47-1,62 \cdot 10^{-3} \text{ kg/m}^3$

pro výpočet použijeme hodnotu $0,6 \cdot 10^{-3} \text{ kg/m}^3$

Hmotnost jednoho papíru :

$$G_1 = 0,8 \cdot 0,6 \cdot 0,001 \cdot 600 = 0,288 \text{ kg}$$

Minimální počet papírů v zásobníku $a = 20$

$$G_{\text{celk}} = G_1 \cdot a = 0,288 \cdot 20 = 5,76 \text{ kg}$$

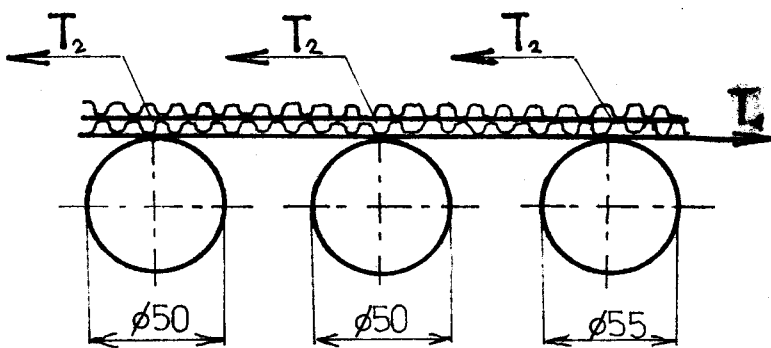
Počet kol vkladačky $n = 8$ (4 hnané)

Tření - papír x papír $f_2 = 0,15$

guma x papír $f_1 = 0,32$

Hnaná kola mají o 5 mm větší průměr než ostatní

$$k_v = 1,2$$



$$F_1 = G_c \cdot g \cdot l / n_c = 2,76 \cdot 9,81 = 7,06 \text{ N}$$

$$T_1 = F_1 \cdot f_1 \cdot k = 7,06 \cdot 0,32 \cdot 1,2 = 2,71 \text{ N}$$

$$T_2 = F_1 \cdot f_2 = 7,06 \cdot 0,15 = 1,06 \text{ N}$$

$$F_v = n' \cdot T_1 - n \cdot T_2$$

$$F_v = 4 \cdot 2,71 - 8 \cdot 1,06 = 2,38 \text{ N}$$

Výpočet je proveden pro nejmenší formát a minimální zásobu papíru v zásobníku vkladačky, praktické hodnoty budou tedy příznivější.

5.2 Návrh hřídele vkladačky

$$P_M = 0,42 \text{ kW}$$

$$n_M = 11,4 \text{ l/sec.}$$

$$\text{Návrh průměru : } \varnothing d(\text{cm}) = 13,5 \cdot \frac{P(\text{kW})}{n \cdot 17\text{min}} =$$

$$\varnothing d = 13,5 \cdot \frac{0,42}{685} = 2,12 \text{ cm}$$

$$\text{Zatížení : } G_1 = 0,288 \text{ kg}$$

$$b = 200 \text{ ks (max. počet papírů)}$$

$$h = 3 \text{ (počet hřidelů)}$$

$$G_{\max} = G_1 \cdot b / h = 0,288 \cdot 200 / 3 = 19,2 \text{ kg}$$

Průměr hřídele volíme $\varnothing d = 20 \text{ mm}$

$$\sigma_o = \frac{M_o}{W_o} \quad M_o = \frac{\pi \cdot l^3}{8} = \frac{19,2 \cdot 1,1^3}{8} = 2,9 \text{ Nm}$$
$$W_o = \frac{\pi \cdot d^3}{32} = \frac{\pi \cdot 0,02^3}{32} = 7,85 \cdot 10^{-7} \text{ m}^3$$

$$\sigma_o = \frac{2,9}{7,85 \cdot 10^{-7}} = 3,7 \text{ MPa}$$

$$M_k = P/w = 420/2 \cdot \pi \cdot 11,4 = 5,8 \text{ Nm}$$

$$W_k = \frac{\pi \cdot d^3}{16} = \frac{\pi \cdot 0,02^3}{16} = 1,57 \cdot 10^{-6} \text{ m}^3$$

$$\tau_k = \frac{M_k}{W_k} = \frac{5,8}{1,57 \cdot 10^{-6}} = 3,7 \text{ MPa}$$

Materiál hřídele - 11 340 $\sigma_{od} = 760 \text{ MPa}$

Míjivé namáhání - $c_{II} = 0,85$

$$\sigma_l = 760 \cdot 0,85 = 646 \text{ MPa}$$

Hřídel kontrolujeme dle vzorce pro složené namáhání

$$\sigma_{red} = \sqrt{\sigma_o^2 + 3 \cdot \tau_k^2} \leq \sigma_l$$

$$\sigma_{red} = \sqrt{3,7^2 + 3 \cdot 3,7^2} = 7,4 \text{ MPa}$$

$$\sigma_{red} \ll \sigma_l$$

Hřídel vyhovuje danému namáhání

Návrh nosníku příslušek

5.3

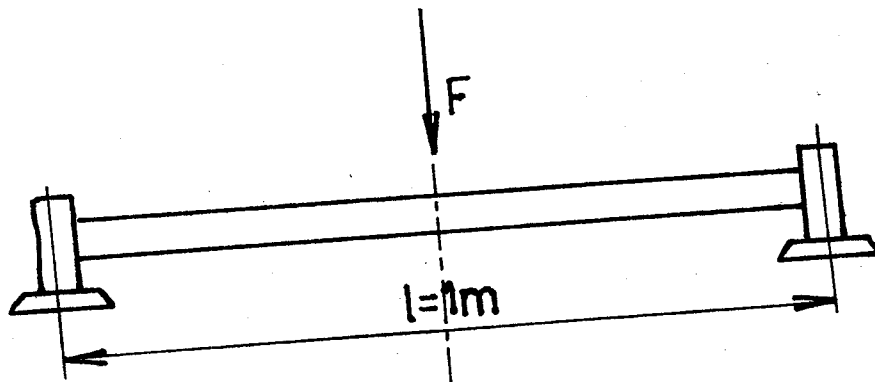
$$F_n = 490 \text{ N} \quad l = 1 \text{ m}$$

Profil $50 \times 50 - 2 \quad I_o = 14,14 \text{ cm}^4 \quad w_o = 5,66 \text{ cm}^3$

Materiál 11 321 $\sigma_{od} = 120 \text{ MPa}$

Střídavé zatížení - $c_{III} = 0,65$

$$\sigma_1 = c_{III} \cdot \sigma_{od} = 0,65 \cdot 120 = 78 \text{ MPa}$$



$$M_{omax} = \frac{F \cdot l}{4} = \frac{490 \cdot 1}{4} = 122,5 \text{ Nm}$$

$$\sigma_o = \frac{M_o}{w_o} = \frac{122,5}{5,66 \cdot 10^{-6}} = 21,6$$

$$\sigma_o > \sigma_1$$

Průhýb :

$$w = \frac{F_n \cdot l^3}{48 \cdot E \cdot I} = \frac{490}{2,1 \cdot 14,14 \cdot 10^3} = 0,3 \text{ mm}$$

5.4

Kontrola vedení pojezdu

Celková zatěžující síla $F_c = 320 \text{ N}$

Počet koleček $n_k = 4$

Síla na jedno kolečko

$$F_1 = \frac{F_c}{n_k} = \frac{320}{4} = 80 \text{ N}$$

Materiál tyče - 10 370

σ - dov. tlak - míjivé namáhání = 80-120 MPa

Hertzův tlak

$$\sigma_H = \sqrt{\frac{1}{2,86} \cdot \frac{F_1}{B} \cdot \frac{E}{D_I}}$$

Kolečko - ložisko 6004 ČSN 02 46 33

$$d = 20 \text{ mm}, D = 42 \text{ mm}, B = 12 \text{ mm}$$

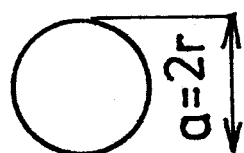
$$D_I = \frac{D_I \cdot D_{II}}{D_I + D_{II}} = \dots \quad D_{II} = \infty \rightarrow D_I = 42 \text{ mm}$$

$$\sigma_H = \sqrt{\frac{1}{2,86} \cdot \frac{80}{12} \cdot \frac{2,1 \cdot 10^5}{42}} = 108 \text{ MPa}$$

Výpočet je nepříznivý. Je to způsobeno tím, že je teoretický pro čistě bodový styk.

Provedeme proto ještě kontrolní výpočet velikosti dotykové plošky.

$$a = 0,691.. \frac{F_1}{G_{td}} = 0,691.. \frac{80}{85 \cdot 10^6} = 0,67 \text{ mm}$$



Při styku dvou koulí je dotyková ploška kružnicí.

$$S = \pi \cdot a^2 = \pi \cdot 0,67^2 = 1,41 \text{ mm}^2$$

Ze známého vzorce pro tlak.

$$\sigma_p = \frac{F_1}{S} = \frac{80}{1,41 \cdot 10^6} = 56,7 \text{ MPa}$$

Tato hodnota je již zcela přijatelná.

Tento druh vedení je často používán, zaručuje přesnost polohy, lze u něj lehce vymezit vůle a v provozu se tedy osvědčuje.

5.5

Návrh elektromotoru pojezdu vozíku

Brzdový motor APB 100 L -6

$$P_m = 1,5 \text{ kW}$$

$$n = 940 \text{-l/min.}$$

Tíha vozíku a příslušenství - 20 kg

Tíha skel - 12,5 kg

Celkem - 32,5 kg $F_c \equiv 320 \text{ N}$

Součinitel tření mezi kladíčkami a vedením $f = 0,2$

Celková účinnost $\eta_c = 0,9$

$$F_t = F_c \cdot f = 320 \cdot 0,2 = 64 \text{ N}$$

Kroutící moment potřebný k pohybu vozíku

$$M_k = F_t \cdot r = 64 \cdot 0,11 = 7,04 \text{ Nm}$$

\varnothing - průměr hnací řetězky 0,22 m $r = 0,11$

M_{km} - dodávaný od motoru

$$M_{km} = \frac{P_m}{2 \cdot \pi \cdot n} = \frac{1500}{2 \cdot \pi \cdot 15,66} = 16,9 \text{ Nm}$$

Zvolený motor APB 100 L -6 má vyšší výkon než bezprostředně potřebujeme k pohybu vozíku.

Časté zapínání a vypínání motorů cyklicky pracujících způsobuje jejich nižší životnost,

Proti tomuto se v praxi brání používáním motorů o vyšších výkonech.

5.6

Volba řetězu

$$P_m = 1,5 \text{ kW} \quad \dot{m}_m = 15,66 \text{ l/sec.}$$

Hnací stroj - elektromotor s převodovkou

Druh mazání a tukem

Volíme řežez 0,6 C-2 ČSN 02 33 21.2

Parametry řetězu - zatížení při přetržení 17,3 kN

hmotnost 0,78 kg/m

rozměry - $t = 9,525 \text{ mm}$, $b_{\max} = 23,8 \text{ mm}$

$b_2 = 8,53 \text{ mm}$, $d_1 = 6,35 \text{ mm}$

počet článků 786

vzdálenost os a = 3368 mm

5.7

Řetězová kola

Průměr používaný při výpočtu $D = 220 \text{ mm}$

Počet zubů $z = 72$

Skutečný roztečný průměr $D_t = 218,4 \text{ mm}$

Průměr patní kružnice D_f $D_f = 212,0 \text{ mm}$

Průměr hlavové kružnice $D_h = 222,2 \text{ mm}$

Maximální průměr náboje kola $D_n = 205,0 \text{ mm}$

Materiál ozubených kol 12 040

5.8

Výpočet rychlosti přejezdu

Povolený čas přejezdu $t = 5-8$ sec.

$$l = 2 \text{ m}$$

Rychlosť přejezdu

$$v = \frac{s}{t} = \frac{2}{5} = 0,4 \text{ m/s}$$

$$v = r \cdot \omega \quad \omega = \frac{v}{r} = \frac{0,4}{0,11} = 3,63 \text{ l/sec.}$$

$$\omega = 2 \cdot \pi \cdot n_{\text{pr}} = n_{\text{pr}} = \frac{\omega}{2 \cdot \pi} = \frac{3,63}{2 \cdot \pi} = 0,57 \text{ l/sec.}$$

$$n_{\text{mot}} = 15,66$$

$$i = \frac{n_{\text{mot}}}{n_{\text{pr}}} = 27,05$$

$$n_{\text{pr}} = 0,57$$

Použijeme převodovku s $i = 27$

Skutečný čas přejezdu

$$t = \frac{s}{v} = \frac{2}{0,4} = 5 \text{ sec.}$$

5.9

Výpočet průměru savky

Váha tabule skla - 6,6 kg

Maximální dosažitelná velikost vakua - $3-5 \cdot 10^3$ Pa

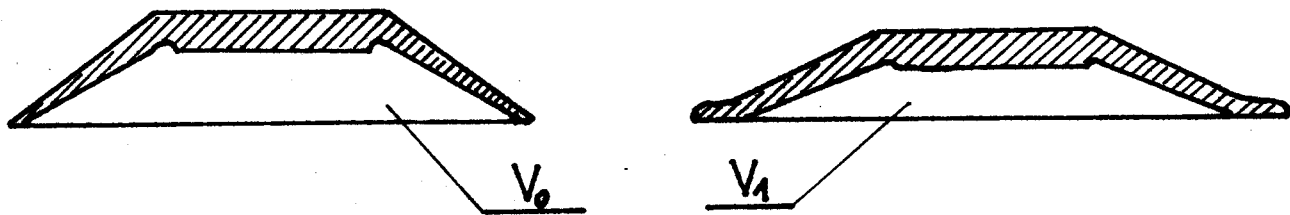
Použité vakuum - $7 \cdot 10^4$ Pa

$$F_p = S \cdot \epsilon \cdot p$$

$$F_p = \epsilon \cdot S \cdot (1-k_p) \cdot p$$

ϵ = tuhost přísavky (0,6-0,8) bereme 0,6

$$k_p = \frac{V_1}{V_0} = (0,2-0,5) \quad \text{bereme } 0,3$$



$$F_s = G_s \cdot g = 6,6 \cdot 9,81 = 64,8 \text{ N}$$

$k_b = 3$ bezpečnost zahrnující ztráty a netěsnosti
ve vakuovém rozvodu

p_v = vakuum potřebné ke zdvižení skla

$$p_v = \frac{k_b \cdot F_s}{\epsilon \cdot S \cdot (1-k_p)} = \frac{3 \cdot 64,8}{0,6 \cdot 1,7 \cdot 10^{-2} \cdot 0,7} = 2,62 \cdot 10^4 \text{ Pa}$$

$$p = p_{\text{bar}} - p_v \quad p_v = p_{\text{bar}} - p$$

$$p_v = 1 \cdot 10^5 - 2,62 \cdot 10^4 = 7,38 \cdot 10^4 \text{ Pa}$$

Hodnota vypočteného vakua při zahrnutí bezpečnosti k_b
a při uvažování všech netěsností vakuového rozvodu
je stále ještě vyšší než použitá hodnota $7 \cdot 10^4 \text{ Pa}$.

5.10

Výpočet objemu vakuového rozvodu

$$\text{Plocha savky} - S = 1,76 \cdot 10^{-2} \text{ m}^2$$

$$\text{Výška savky} - h = 1 \text{ cm}$$

$$\text{Objem savky} - V_s = S \cdot h = 1,76 \cdot 10^{-2} \cdot 0,01 = 1,76 \cdot 10^{-4} \text{ m}^3$$

Ve vakuovém obvodu použijeme hadice s označením :

$$\text{PNT 028 406; } d_j = 8 \text{ mm; } p_j = 16 \text{ MPa; } m = 0,6 \text{ kg/m}$$

Délka vakuového potrubí cca 10 m

Vnitřní objem potrubí

$$V_p = S_p \cdot l_p = 5 \cdot 10^{-5} \cdot 10 = 5 \cdot 10^{-4} \text{ m}^3$$

Celkový objem rozvodu

$$V_c = 2 \cdot V_s + V_p = 2 \cdot 1,76 \cdot 10^{-4} + 5 \cdot 10^{-4} = 8,52 \cdot 10^{-4} \text{ m}^3$$

Při sání, jež nastává jednou za 24 sec. vysává vývěva
vakuový obvod. Aby neklesl tlak pod stanovenou nejnižší
hodnotu, je třeba určit objem vzdušníku.

5.11

Stanovení objemu vzdušníků

Úkolem vzdušníku je vyrovnávat kolísání tlaku způsobené přisítím tabule.

$$\text{Celkový objem vakuového obvodu } V_c = 8,52 \cdot 10^{-4} \text{ m}^3$$

$$\text{Tlak ve vzdušníku } p_v = 0,07 \text{ MPa}$$

$$\text{Atmosferický tlak } p_{\text{bar}} = 0,1 \text{ MPa}$$

$$\text{Teplota vzduchu } T_v = 273 + 20 = 293 \text{ K}$$

Východiskem jsou stavové rovnice plynů

$$p \cdot V = m \cdot R \cdot T$$

Individuální plynová konstanta pro vzduch R

$$R = 287,6 \text{ (J} \cdot \text{kg}^{-1} \cdot \text{deg}^{-1}\text{)}$$

$$\text{Objem vzdušníku volíme } 0,5 \text{ m}^3$$

Tíha vzduchu ve vzdušníku

$$m_1 = \frac{p_1 \cdot V_1}{R \cdot T} = \frac{1 \cdot 10^4 \cdot 0,5}{287,6 \cdot 293} = 4,2 \cdot 10^{-2} \text{ kg}$$

Tíha vzduchu ve vakuovém rozvodu

$$m_2 = \frac{p_2 \cdot V_2}{R \cdot T} = \frac{0,07 \cdot 1 \cdot 10^{-3}}{287,6 \cdot 293} = 1 \cdot 10^{-4} \text{ kg}$$

Pro předešlé rovnice platí ($p_v = p_1$; $p_{\text{bar}} = p_2$)

Připojení platí

$$V = V_v + V_c = 0,5 + 8,52 \cdot 10^{-4} = 0,501 \text{ m}^3$$

$$m = m_1 + m_2 = 4,2 \cdot 10^{-2} \text{ kg}$$

Tlak směsi po propojení obvodu

$$p_{pr} = \frac{m \cdot R \cdot T}{V} = \frac{4,2 \cdot 10^{-2} \cdot 287,6 \cdot 293}{0,501} = 7,06 \cdot 10^3 \text{ Pa}$$

Po jednom přisítí vzroste tlak o Δp

$$\Delta p = p_{pr} - p_v = 7,06 \cdot 10^3 - 7 \cdot 10^3 = 60 \text{ Pa}$$

Pro čerpání použijeme dvoustupňovou rotační olejovou vývěvu RV 5/2. Čerpací výkon za normálního tlaku vzduchu je $5 \text{ m}^3/\text{hod}$.

Vysátké množství lze určit z rovnice pro děj adiabatický

$$p \cdot V^\chi = \text{konst.} \quad \chi = 1,4$$

$$\frac{P_1}{P_2} = \left(\frac{V_2}{V_1} \right)^\chi \quad V_2 = \left(\frac{P_1}{P_2} \right)^{\frac{1}{\chi}} \cdot V_1$$

$$V_2 = 0,7 \cdot 0,5 = 0,387 \text{ m}^3/\text{hod}$$

Čas mezi dvěma nasátími je 24 sec. 150 nasátí/hod.

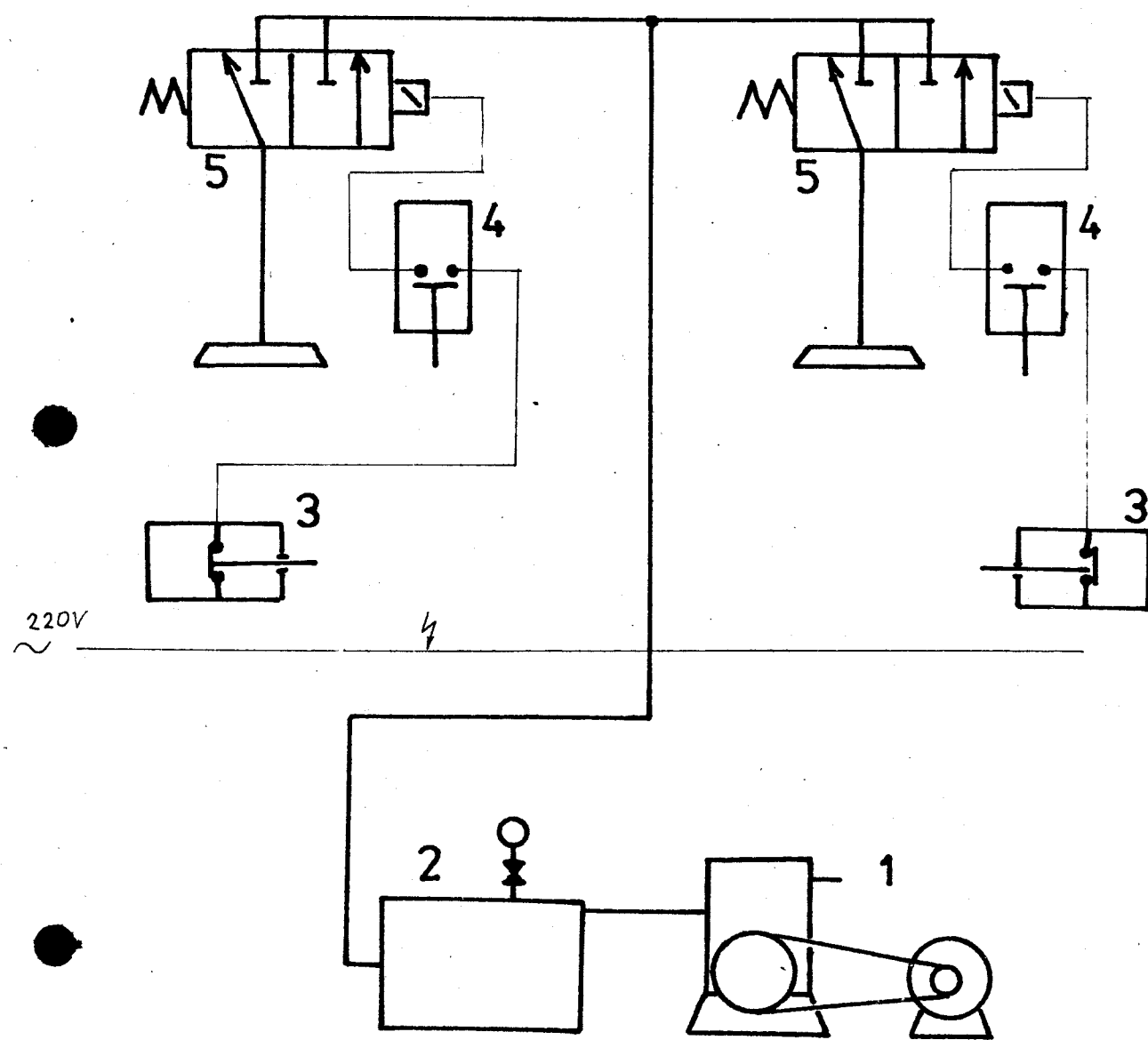
Objem vysátkého vzduchu za hodinu

$$V_{\text{hod}} = V_2 \cdot \frac{3600}{24} = 1 \cdot 10^{-3} \cdot \frac{3600}{24} = 0,15 \text{ m}^3$$

Vysátké množství víc než dvoujmásobně převyšuje objem, který se spotřebuje na přisávání skel. Tím je tedy zajištěno i krytí nepředvídaných ztrát vzniklých opotřebením částí vakuového rozvodu a jeho netěsnostmi.

5.12

Schema vakuového rozvodu



1 - Vývěva RV 5/2⁰

2 - Vzdušník

3 - Spínač koncový 2 KS6FK 11

4 - Spínač koncové polohy tabule 2 KS6FK 20

5 - Rozvaděč elektromagnetický

5.13

Dvoustupňová rotační olejová vývěva RV 5/2°

Čerpací výkon z normálního tlaku vzduchu $5 \text{ m}^3/\text{hod}$

Dosažitelné vakuum 10^{-3} mm Hg

Počet stupňů vývěvy 2°

Počet otáček vývěvy 450 ot/min.

Druh chlazení vzduchem

Elektromotor $3 \times 220/380 \text{ V}$

Výkon $0,37 \text{ kW}$

Otáčky elektromotoru 1400 ot/min.

5.14

Kontrola přisátí tabule

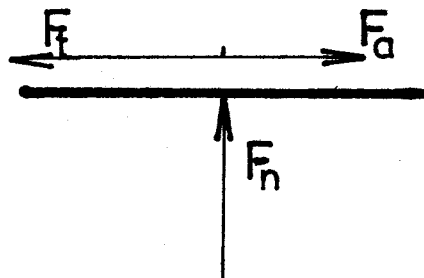
Hmotnost tabule $m = 6,6 \text{ kg}$

Zrychlení vozíku

$$a = \frac{v_1}{t} \quad v_1 - \text{rychlosť vozíku } 0,4 \text{ m/sec.}$$

$t - \text{doba rozjezdu z } v_0 \text{ na } v_1$

$$a = \frac{0,4}{0,5} = 0,8 \text{ m/sec}^2$$



Tření : sklo x guma $f_s = 0,6$

Rozdíl tlaku $p = 2,62 \cdot 10^4 \text{ Pa}$

Plocha mezikruží přitlačené přísavky S_m

$$S_m = \frac{\pi \cdot D^2 - d^2}{4} = 6,4 \cdot 10^3 \text{ m}^2$$

Síla zrychlení opačná ke směru pohybu F_a

$$F_a = m \cdot g \cdot a = 6,6 \cdot 9,81 \cdot 0,8 = 51,8 \text{ N}$$

Normálová síla vyjadřující složku přisátí F_N

$$F_N = p \cdot S = 2,62 \cdot 10^4 : 6,4 \cdot 10^{-3} = 166,7 \text{ N}$$

Tečná síla působící ve směru pohybu F_t

$$F_t = F_N \cdot f_s = 166,7 \cdot 0,6 = 100 \text{ N}$$

$$F_t > F_a$$

Výpočet dokazuje, že při rozjezdu i brzdění vozíku se tabule skla udrží na přísavkách.

6.0 Ekonomické hodnocení

Prestor hodnocení

Prestorem hodnocení je operace balení ornamentálního skla v závodě Pozorka.

Toto pracoviště je samostatně provozní jednotkou a jeho hodnocení budeme provádět jako u nezávislé samostatné sledované jednotky.

Způsob hodnocení

Ekonomické údaje této zprávy a příslušné výpočtové vzorce i tabulky jsou čerpány z výnosu "Zásady efektivnosti investic" vydaného FMTIR /č.3/ r.1975.

Navržené řešení hodnotíme metodou absolutní efektivnosti t.j. porovnáním se srovnávací základnou, představovanou stávajícím stavem.

Vlastní hodnotící vztahy

Při hodnocení inovací vyšších řádů přistupují k výslednému hodnocení také další efekty, které se při klasickém způsobu hodnocení velmi obtížně vyjadřují.

Tyto efekty souhrnně vyjadřujeme minimálním efektem inovace, který je dán vztahem

$$fw_i = fsu \cdot fse \cdot fde$$

fsu -efekt substituce, představuje přírůstek žáku podniku vytvořený uvolněními pracovníky. Tento efekt je dán vztahem

$$fsu = \bar{U}L \cdot \bar{\varphi}mz_k \cdot \bar{\varphi}rt_k$$

$\bar{U}L$ - úspora pracovníků

$\bar{\varphi}mz_k$ - průměrná roční mzda pracovníka klasické výroby

$\bar{\varphi}mz_k$ - 108 000

$\bar{\varphi}rt_k$ - průměrná rentabilita mezd pracovníků klasické výroby

$\bar{\varphi}rt_k$ - 2.1

fse = 0

fse - efekt sociálně ekonomický, vylučuje jednorázové náklady, zvyšující kvalitu životního prostředí a néklady, plynoucí z provozu tohoto zařízení.
Tento efekt je dán vztahem

$$fse = dJZ \cdot k_n + dNZ$$

dJZ - podíl jednorázových nákladů připadající na zlepšení životního prostředí

dJZ = 100

k_n - normativní koeficient efektivnosti

k_n = 0,1

dNZ - výrobní náklady související se zlepšením životního prostředí

dNZ = 10

fse = 20

fdc - efekt změny cen, vyjadřuje předpokládané snížení cen nové techniky, ke kterému dojde v průběhu doby životnosti, je dán vztahem:

$$fdc = \frac{Ck_j - Copt}{2} \cdot k_n + \frac{Ck_j - Copt}{2} : tž$$

Ck_j - konjunkturální cena nové techniky

Ck_j = 380

Copt - optimální cena nové techniky

Copt = 340

tž - doba životnosti nové techniky

tž = 5 let

$$fdc = \frac{380-340}{2} \cdot 0,1 + \frac{380-340}{2} \cdot 5$$

Výsledný efekt inovace fw_i , který je dán součtem jednotlivých efektů, potom snižuje výrobní náklady, resp. zvyšuje zisk provozu varianty s použitím inovace.

$$fw_i = 767\ 000$$

6.1 Hospodářské a technicko-ekonomické cíle úkolu

Účel řešení

Účelem tohoto řešení je automatizace manipulace se sklem, nahrazení lidské práce, bezpečnost provozu.

Základní požadavky

Základním požadavkem řešení je úspora pracovních sil.

Souhrnné a závazné údaje

Celk.náklady	tis.Kčs
Z toho investiční	250 0000
z toho stavba	20 000
počet pracovníků	1 osob
výrobnost linky	1636 502 m ² /rok
směnnost	3

Jednorázové náklady

Jednorázové náklady jsou stanoveny odhadem na základě zkušeností, získaných při řešení podobných úkolů.

/ odhad-pracovníci konstrukce SKLO-Union/

Náklady na projektovou dokumentaci jsou hrazeny v rámci technického rozvoje,, v nákladech je tedy neuvažujeme.

Pol.	Údaj	Nákl. v tis. Kčs
1	Překladač celkem	270 000
2	Vál. trať pro bedny	40 000
3	technologie celkem	20 000
4	stav. ústavy úpravy	30 000
5	Investice celkem	360 000
6	Náklady na PPS	450 000
7	Jednorázové nákl. celkem	105 000

PPS - předměty postupné spotřeby /částka nutná na pořízení palet, papírů atp./

Výroba, výrobní program

Rezpočtový okruh, představovaný zavedením balicího úseku není sám o sobě výrobním pracovištěm.

Roční kapacita linky při nepřetržitém provozu je 1 636 502. m²/rok. V hodnotovém vyjádření to představuje 11 128 213. Kčs. Jedná se o značný objem výroby a plnění vývozního programu. Automatizace balení je - tedy zcela na místě.

6.2

Propočet srovnatelných nákladů

Pol.	Údaj	SZ	Nav.řešení
I	Energie	0	24 976,5
2	Odpisy ZP	0	36 000
3	Opravy a udržov.	0	8 400
4	Odpisy PPS	0	10 000
5	Mzdy celkem	108 000	32 300
6	Příspěvky soc.zab.	21 600	6 460
7	Srovnat.nákl.celkem	121 600	118 136
8	Efekt substituce	0	645 120
9	Ef. soc.ekonom.	0	20 000
10	Ef. změn cen	0	102 000
II	Efekt inovace celk.	0	767 120
I2	Srovnatelné nákl. upravené	121 000	648 984
I3	Úspora nákladů	0	527 384

Pozn. Propočteny jsou pouze ty položky u kterých dochází ke změnám z titulu navrženého řešení.
Náklady jsou uvedeny v tis. Kčs.

SZ - srovnávací základna /stávající stav/

NŘ- navržené řešení

Komentář k tabulce propočtu srovnatelných nákladů

Pol.I - Energie

SZ - ruční obsluha, žádná spotř. energie

NŘ - el.energie, náklady jsou dány vztahem

$$N_e = P \cdot k_s \cdot E_{fs} \cdot C_E$$

P - instalovaný příkon /kW/

k_s - koeficient současnosti

E_{fs} - efektivní fond stroje /hod/

C_E - sazba za 1 kWh //Kčs//

P = 12 kW

k_s = 0,66

E_{fs} = 8 760

C_E = 0,36

$$N_e = 12 \cdot 0,66 \cdot 8 760 \cdot 0,36 = 24 976,5$$

Vzduch-náklady jsou dány vztahem

$$N_v = S_v \cdot C_v$$

S_v - roční spotřeba vzduchu /m³/

C_v - sazba za 1 m³ stlač. vzduchu
o tlaku 0,6MPa

C_v = 0,40

S_v = 8 760

$$N_v = 8 760 \cdot 0,40 = 3 504$$

Pol.2 - odpisy ZP

SZ - ruční obsluha, žádné náklady

NŘ - uvažujeme 10%

Pol.3 - opravy a udržování

NŘ - uvažujeme 20% z odpisů

Pol. 4 - mzdy celkem

úspora PS v 1 směně

o roč. mzda výr. děl.

SZ 108 000.4 = 432 000

NR 32 400.4 = 129 600

Z úspory 1 PS odečítáme 0,1 PS na seřizování

Pol. 5 - příspěvek na sociální zabezpečení, výše je
dána sazbou 20 % z mzdových nákladů.

Pol. 6 - srovnatelné náklady celkem - součet pol. 1-5.

Pol. 7 - efekt substituce

SZ fsu 0

NR fsu 645 120

Pol. 8 - efekt sec.-ekonomický

fse 20 000

Pol. 9 - efekt změn cen

V tomto případě se jedná o zařízení vlastní konstrukce a výroby, proto tento efekt neuvažujeme.

Pol. 10 - efekt inovace

tento efekt je dán součtem položek 7 - 9.

Pol. 11 - srovnatelné náklady upravené jsou dány
vztahem pol. 6 - pol. 10.

Pol. 12 - vyjadřuje úsporu srovnatelných nákladů,
upravených navrženého řešení oproti srovnatelné základné SZ.

Projev výsledných ukazatelů efektivnosti

Absolutní efektivnost jednotlivých variant vyplýne z poverení navrženého řešení se srovnávací základnou.

Doba návratnosti nákladová reprodukční

$$t_{nnr} = \frac{JN}{\bar{U}N + A}$$

JN - jednorázové náklady

$\bar{U}N$ - úspora nákladů

A - odpisy z nové investice

$$t_{nnr} = \frac{810\ 000}{527\ 384 + 10\ 000} + 1,5 \text{ roku}$$

Investiční náklady na úsporu pracovníka

$$\frac{810\ 000}{9,6} = 84\ 375 \text{ KKčs}$$

6.3

Současné podíl typů akcií s symboly - ekonomická část

α_{11} = akciový vlivník, představuje přírůstek nájmu
polohy, vyžaduje uvolnění procentuální.

α_{12} = pohledové roční akcie procentuální klasické
výroby

α_{13} = pohledové roční akcie akcie procentuální
klasické výroby

α_{21} = akciový vlivník ekonomický, vyžaduje jednorázové
zahrady, vyžaduje kvalitu firemního prostředí
a aktivity, pohledové a průměrné aktivo zvýšení.

α_{22} = pohledové jednorázové aktivity připomínající
neekologické firemního prostředí

α_{23} = neekologické aktivity ekologickosti

α_{31} = výrobní aktivity související se zlepšením
firemního prostředí

α_{32} = akciový vliv akce, vyžaduje předpokladané aktivity
akce nové techniky, ke kterém dojde v průběhu
doby investice.

α_{33} = komplexní akce nové techniky

α_{41} = optimální akce nové techniky

α_{42} = akce akce nové techniky

- PPS - plynuliny postupné agitacií (číslova vzdále na perf. palet)
- SZ - zavřeného ohřívání (zavřeného stav)
- SH - zavřeného chlazení
- SZ - otevřené ohřívání, částečně opakované ohřívání
- SH - otevřené chlazení, částečně ohřívání
- P - tlakovodivý pístoun
- ρ_0 - bezvodostoupný součinitel
- E_{DP} - efektivní tlak ohřívání
- C_p - tepelné kapacita na 1 kg
- s_v - základ ohřívání tepelná
- c_v - tepelná na 1 m^3 stál. vzh. - 0,8 kJ/kg
- SZ - otevřené ohřívání, částečně ohřívání
- sh - ohřívající 100 pro vložení tepelného
- JH - jednocestné ohřívání
- DS - dvojcestné ohřívání
- A - odhad na tlak aerotermie
- A_0 - opory a vlnovod

Výkresy klasifikací využitího jmen pro jednotky v konstrukci (26).

výkresy jmen jednotky pohonného v užitosti (26).

Závěr

Růst produktivity práce vyžaduje zavádění nových, jednoduších a lacinějších druhů výroby. Úspora materiálových nákladů práce a hlavně pracovníků ve výrobě, všechny tyto úkoly vyplývají ze závěru a směrnic nedávno skončeného XVI. sjezdu KSČ. A právě pracovní síly, to je ořehavý problém nejprůmyslovější části naší vlasti - Severočeského kraje. Právě tot bylo hlavním kritériem při vytyčování úkolu diplomové práce, jejímž vytyčovatelem byl závod Skletaz - Duchcov.

Výsledkem řešení je zařízení, které má splňovat všechny požadavky na měj klademé. Hlavním přínosem je úspora dvou pracovních sil, což je největší přínos. V hodnotovém vyjádření činí 527 tis. Kčs. Dále se zvýší bezpečnost práce, odstraní se monotoničkoly, což povede ke zvýšení sociálně-pracovní pohody pracovníků. Nězanebatelná je úspora papíru a tím nákladů na výrobu.

Doufejme, že toto zařízení přispěje svým malým dílem do technizace a modernizace sklářského průmyslu, a tím mu pomůže plnit úkoly uložené mu ve směrnících rozvoje národního hospodářství na sedmou pětiletku. Aby bylo nejen udrženo, ale i získáno na světových trzích jméno a tradice českého sklářství. Místo, které mu právem náleží a které určuje naši republiku mezi přední průmyslové země světa.

Seznam použité literatury

1. Technologický postup výroby litého ornamentálního skla, vydaného k.p., Sklotas Duchcov a platící pro závod Pozorka.
2. ČSN II 900.00 : Hydraulické mechanismy - názvosloví.
3. ČSN 01 37 22 : Značky schémát hydraulických a pneumatických sestav.
4. Ing. Gunter Schlicker : Pneumatik im Maschinenbau, 3. přepracované vydání, Berlin, VEB Verlag Technik, 1978. 148 s.
5. Ing, Černoch, S. : Strojní technická příručka. 12. přepracované vydání, Praha, SNTL, 1968. 2 000 s.
6. Janyš B., Glanc F. : Dílenské tabulky. 3. přepracované vydání, Praha, SNTL, 1972. 511 s.
7. FESTO katalog : Pneumatické prvky pro automatizaci 17/4. vydání, Wien, Manz, 1974. 182 s.
8. Ing. Bartoš B. a kolektiv : Strojnické tabulky. 2. vydání, Praha, SNTL, 1962 130 s.

Seznam výkresů

- | | |
|---|---------------------|
| 1. Celková sestava | č.v. 0-KSK-004-01 |
| 2. Vkladačka papíru | č.v. 0-KSK-004-01/1 |
| 3. Pojezdový vozík | č.v. 0-KSK-004-01/2 |
| 4. Detail uložení savky | č.v. 0-KSK-004-01/3 |
| 5. Stabilizace skel | č.v. T-KSK-004-01/4 |
| 6. Pojezd vozíku | č.v. 2-KSK-004-01/5 |
| 7. Schema výrobní linky | č.v. 4-KSK-004-02 |
| 8. Schema elektropneumatického zapojení | č.v. 4-KSK-004-03 |
| 9. Časový diagram a funkce zapojení | č.v. 4-KSK-004-04 |

číslo	strana
Úvod	9
1.0 Soudcův zájem	11
1.1 Sídlo soudceho stolu listy	12
2.0 Analýza ohledných pokrmů pro soudce	14
2.1 Výběr pokrmů překladatelské	14
2.2 Vlastnosti pokrmůch soudcům	15
2.3 Konkrétní určení vhodnosti pokrmu	16
3.0 Rovná ruka výrobců listy	18
3.1 Sídlo soudcůj jednotek soudujících	
3.1.1 Konstrukci soudce	22
3.2 Výběr elektronických digitálních protokolů - typizace	23
4.0 Všeobecný popis literálky sítě	25
4.1 Popis funkce sítě soudce	25
4.2 Konstrukce funkce literálky sítě soudce	26
4.3 Rovná ruka literálky sítě soudce	27
5.0 Výpočetní číslo	29
5.1 Výpočet vkladatelky papíru	29
5.2 Rovná ruka vkladatelky	30
5.3 Rovná ruka vkladatelky příspěvku	30
5.4 Kontrola vkladatelky pojetí	30
5.5 Elektromotor pojetí vlastní	35
5.6 řídící pojetí	36
5.7 řídící kód	36
5.8 Výpočet systémového pojetí	37
5.9 Výpočet primární sítky	38
5.10 Výpočet vlastnorážného pojetí	39

čísločka	stránky
5.11 Výpočet objemu vzdutíku	49
5.12 Schéma vzdutíku zpravidla	52
5.13 Parametry objevné výšky	53
5.14 Kontrola přesnosti tabule	54
6.0 Mechanické základecení	55
6.1 Cíle zkoušek	58
6.2 Propojet črovnatkových sítíků - tabulka ..	59
Komentár k tabulce	59
6.3 Schéma zkoušek - okamžitá čítač	64
Závěr	68